

Европейский центр  
**«ONLINE CLINIC»**

Республика Болгария, София  
[www.newonlineclinic.com](http://www.newonlineclinic.com)

**РЕЗУЛЬТАТ ОБРАБОТКИ  
№2506И1**

Научно-исследовательский центр  
**«АВАНТРЕНД»**

Россия, Екатеринбург, ул. Народной Воли, 65 - 805  
[www.medinnovations.ru](http://www.medinnovations.ru) [info@medinnovations.ru](mailto:info@medinnovations.ru)  
8 (343) 38-24-911

## РЕЗУЛЬТАТ ОБРАБОТКИ №2506В1

Дата обработки: 25.06.2018

Вид исследования: КТ с контрастом

Предоставленные снимки КТ от 10.04.18, 17.06.18,

В ходе обработки изображения проанализированы 4 области исследования:

- Брюшная полость;
- Органы малого таза;
- Позвоночник;
- Легкие.

-----

Диагностическая обработка цифровых медицинских данных выявляет патологические изменения тканей организма. Результат обработки не является диагнозом. Интерпретация результата проводится лечащим врачом.

-----

## 1. Область исследования - Брюшная полость

Предоставленные снимки области исследования представлены на рисунке 1.

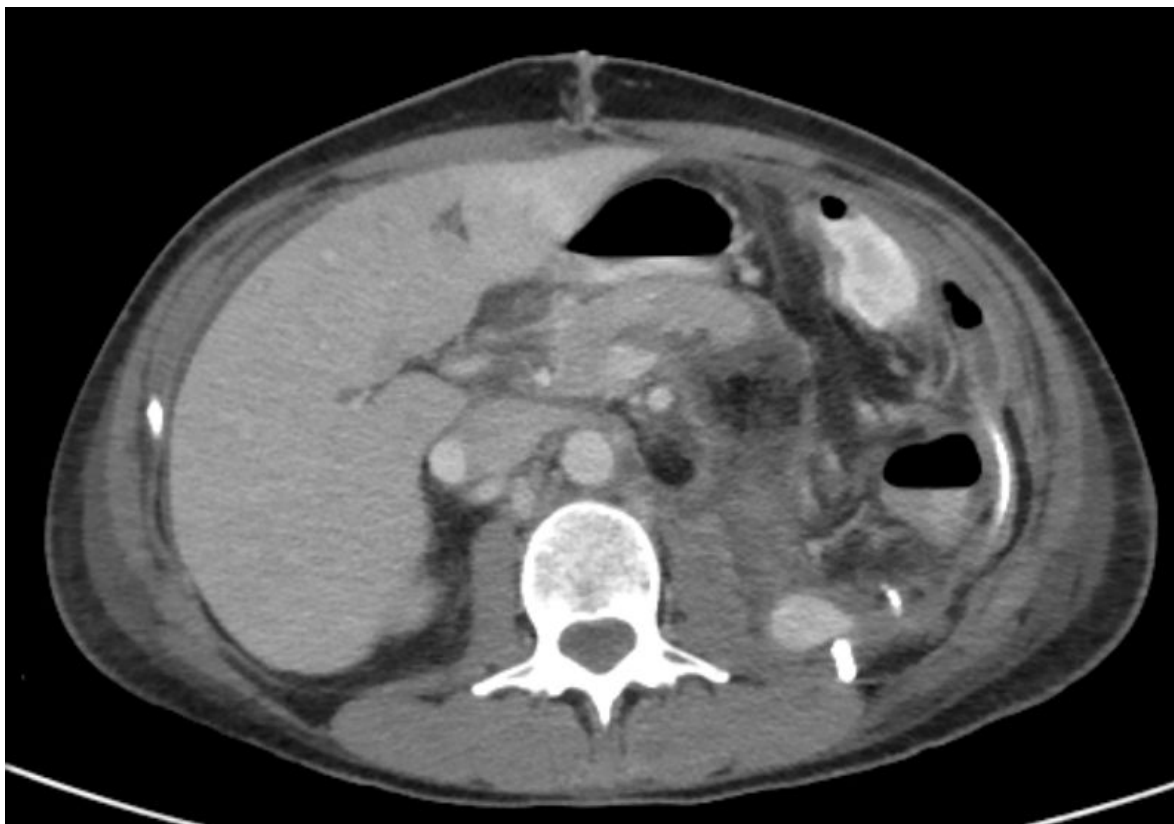


Рисунок 1

### 1.1 Зона внимания - Печень

На рисунке 2 показано найденное образование (желтый круг) - в районе переднего правого медиального сегмента (V сегмент).

**Размер** образования 3.5 мм \* 6.0 мм ( по снимкам в артериальную фазу).

**Плотность** образования:

- натив:  $+33 \pm 3$  HU (макс +36 HU, мин +29 HU);
- портальная фаза:  $+37 \pm 4$  HU (макс +41 HU, мин +34 HU);
- артериальная фаза:  $+39 \pm 2$  HU (макс +41 HU, мин +38 HU);

Образование прослеживается на более ранних снимках КТ от 10.04.2018 и КТ от 28.12.2017 без изменения размера.

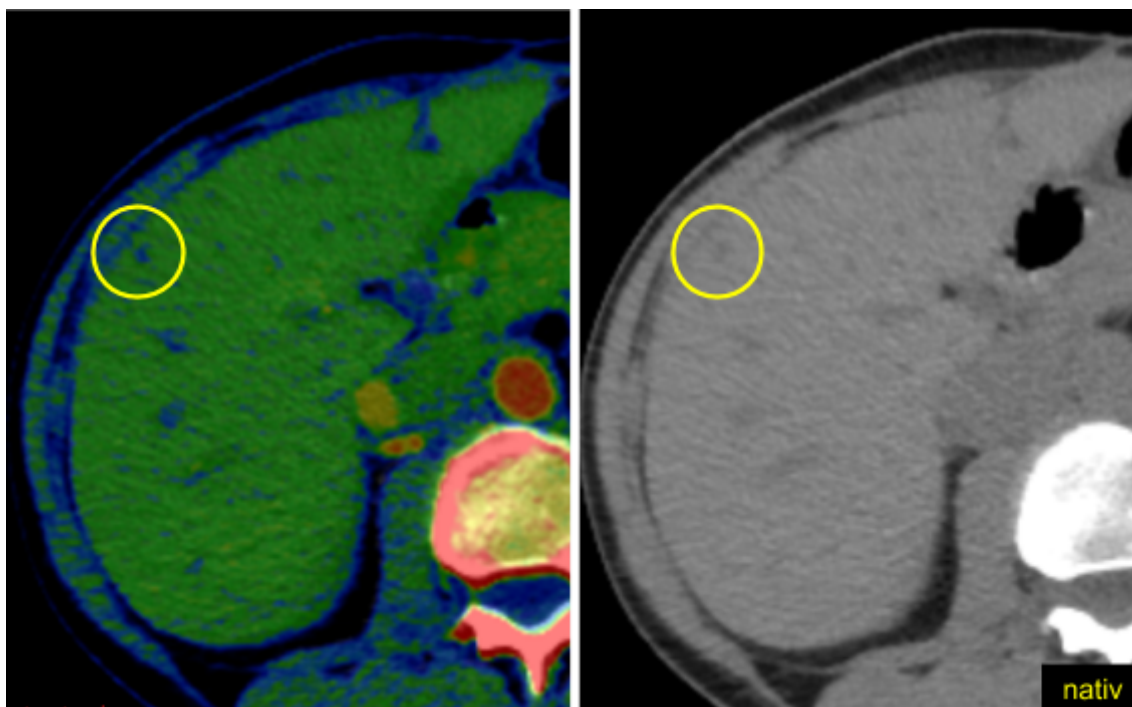





Рисунок 2

-  - нормальные значения паренхимы печени на нативных изображениях от +45 HU до +78 HU;
-  - от +10 HU до +45 HU;
-  - от +78 HU.

На рисунке 3 показана трехмерная реконструкция зоны внимания.

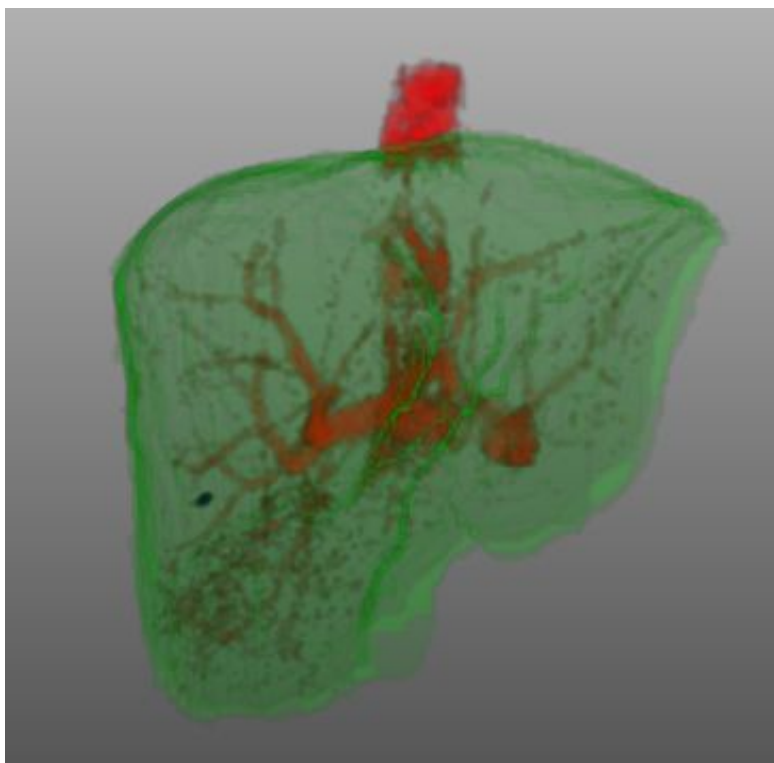


Рисунок 3

- - нормальные значения паренхимы печени на нативных изображениях от +45 HU до +78 HU;
- - от +10 HU до +45 HU;
- - от +78 HU.

На рисунке 4 показано найденное гиперденсное образование (желтый круг). Образование расположено над кистой (выше).

**Размер** образования 3.0 мм \* 2.5 мм протяженностью 7 мм.

**Плотность** образования:

- натив: не визуализируется;
- артериальная фаза: не визуализируется;
- портальная фаза: +162±6 HU (макс +167 HU, мин +155 HU);

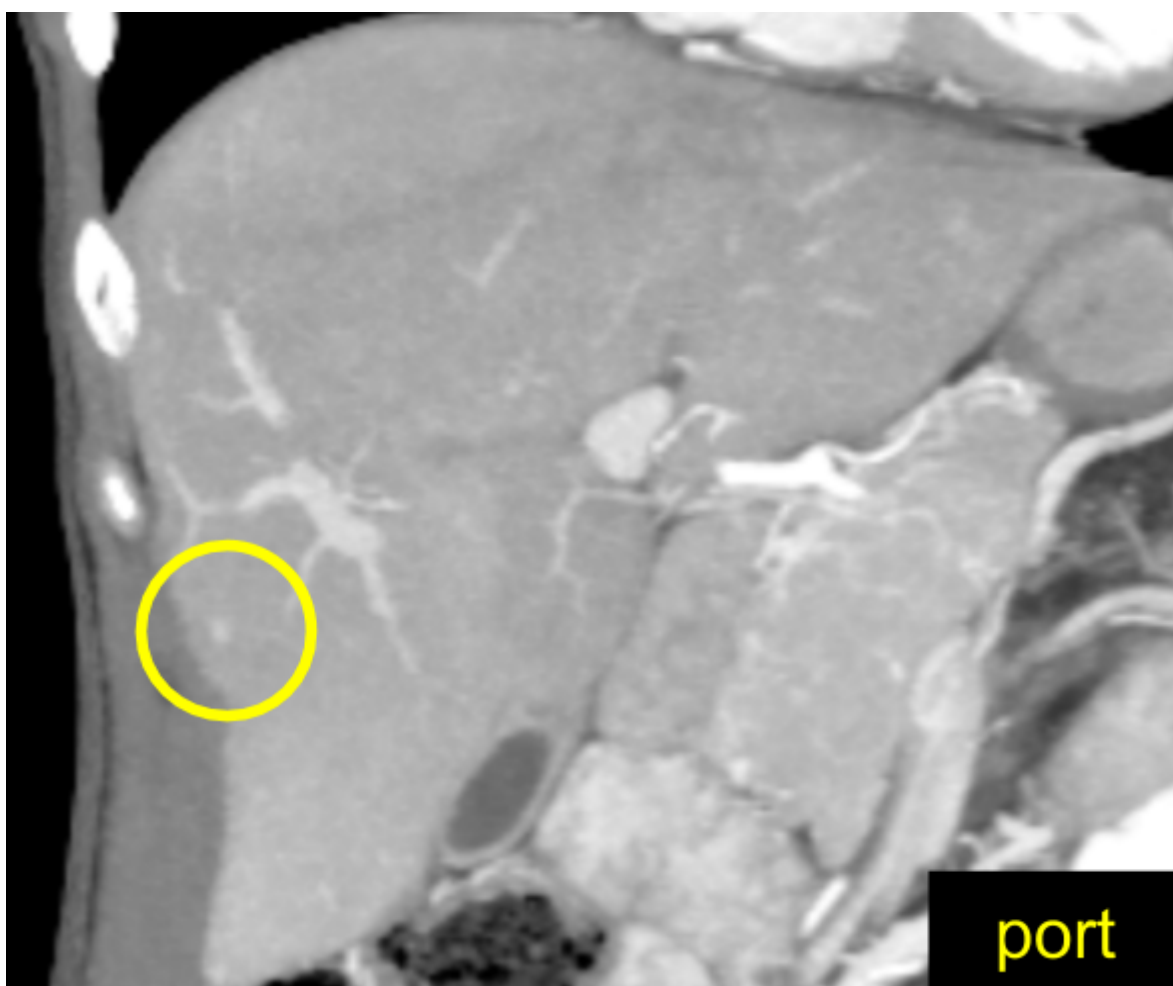


Рисунок 4

## 1.2 Зона внимания - Нижняя полая вена

На рисунке 5 показано неравномерное распределение контраста в нижней полой вене. Контраст распределяется до двенадцатиперстной кишки.

Диаметр нижней полой вены 26 мм.



Рисунок 5

- от +86 HU до +125 HU;
- от +40 HU до +85 HU;
- от +126 HU.

### 1.3 Зона внимания - Забрюшинное пространство

На рисунках 6-7 показаны найденные гиподенсные образование (желтый круг) - в районе забрюшинного пространства слева в передней и задней области. В артериальную и портальную фазы визуализируется накопление контраста образованиями по периферии.

**Размер** образования в передней области слева 27 мм \* 50 мм \* 25 мм.

**Размер** образования в задней области слева 46 мм \* 20 мм \* 32 мм.

**Плотность** образований:

- натив:  $+23 \pm 9$  HU (макс  $+50$  HU, мин  $-6$  HU);
- артериальная фаза:
  - в центре  $+24 \pm 4$  HU (макс  $+36$  HU, мин  $+15$  HU);
  - по периферии  $+45 \pm 5$  HU (макс  $54$  HU, мин  $+22$  HU);
- портальная фаза:
  - в центре  $+24 \pm 4$  HU (макс  $+36$  HU, мин  $+15$  HU);
  - по периферии  $+95 \pm 5$  HU (макс  $+101$  HU, мин  $+81$  HU);

Образования прослеживаются на более ранних снимках КТ от 10.04.2018 и КТ от 28.12.2017 с увеличением размеров.

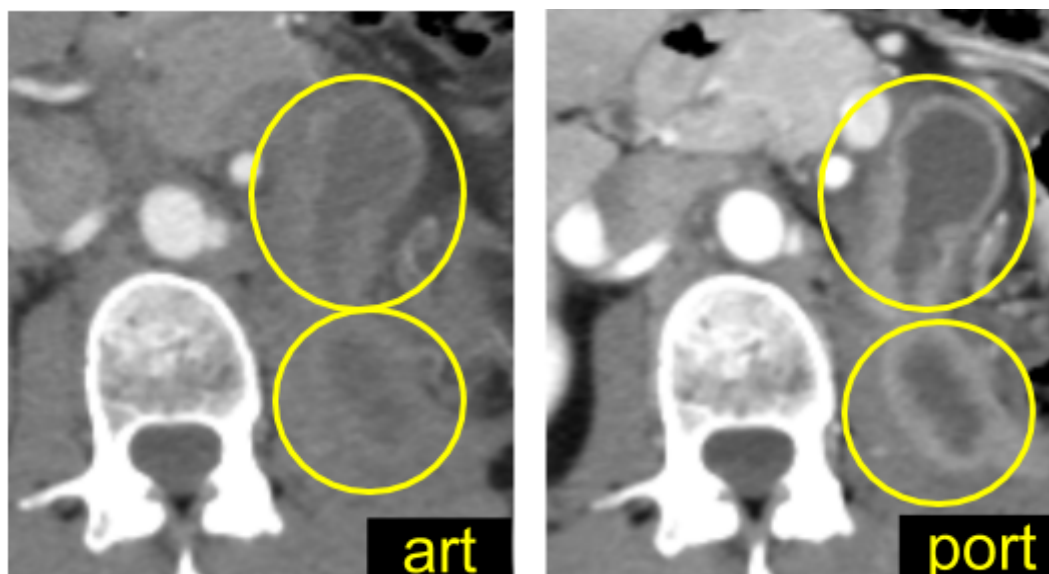


Рисунок 6



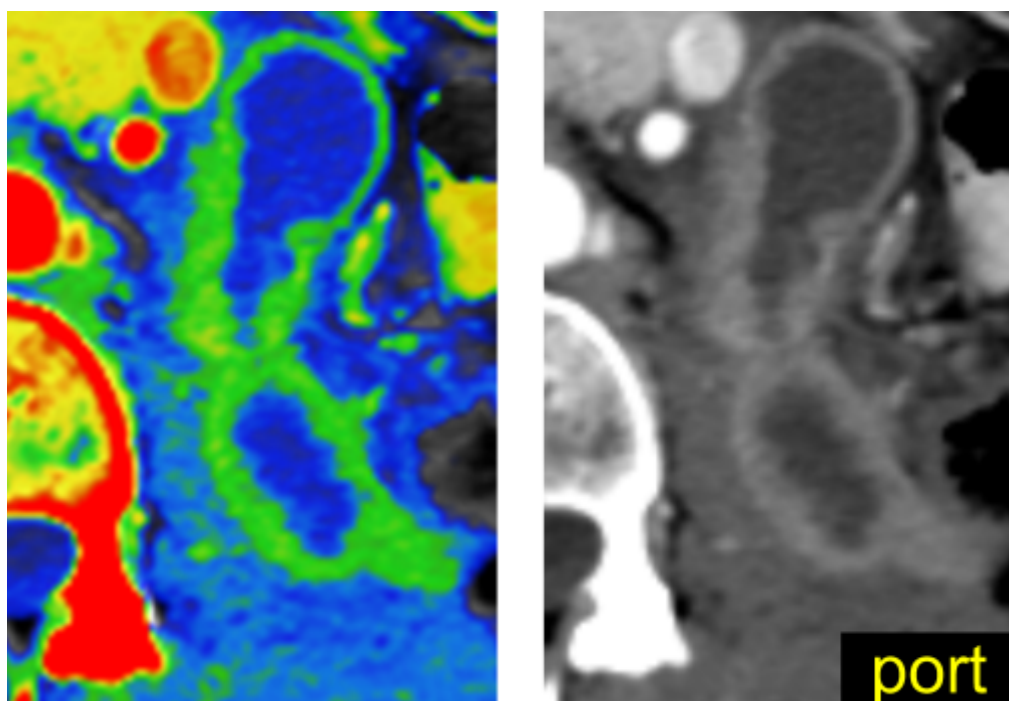




Рисунок 7

-  - от +40 HU до +80 HU;
-  - от +20 HU до +40 HU;

На рисунках 8 -10 показано найденное гиподенсное образование (желтый круг) - в парааортальной области забрюшинного пространства. Образование не накапливает контраст.

**Размер** образования 15 мм \* 47 мм \* 54 мм.

**Плотность** образования:

- натив:  $-75 \pm 9$  HU (макс  $-18$  HU, мин  $-108$  HU);
- артериальная фаза:  $-74 \pm 8$  HU (макс  $-47$  HU, мин  $-101$  HU);
- портальная фаза:  $-72 \pm 9$  HU (макс  $-26$  HU, мин  $-99$  HU).

Образования прослеживаются на более ранних снимках КТ от 10.04.2018 и КТ от 28.12.2017 с увеличением размеров.

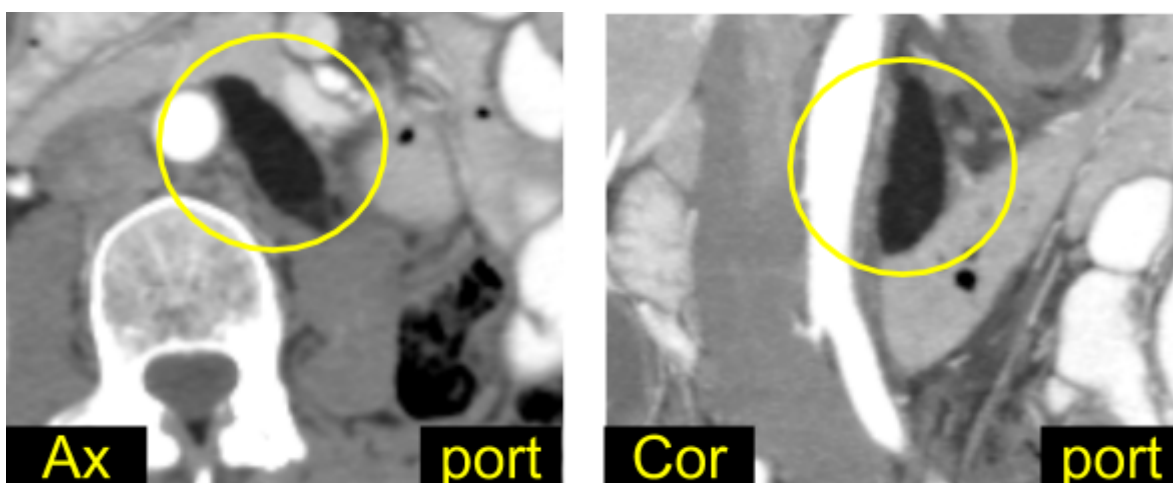


Рисунок 8

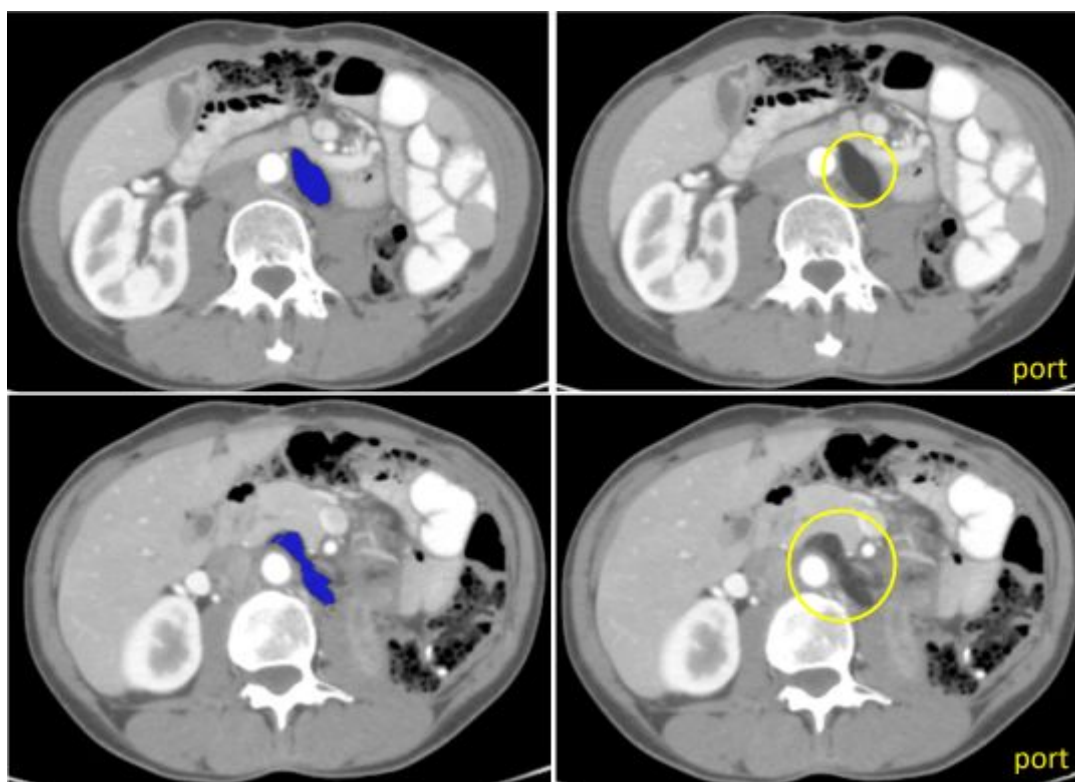


Рисунок 9

■ - от -26 HU до -99 HU;

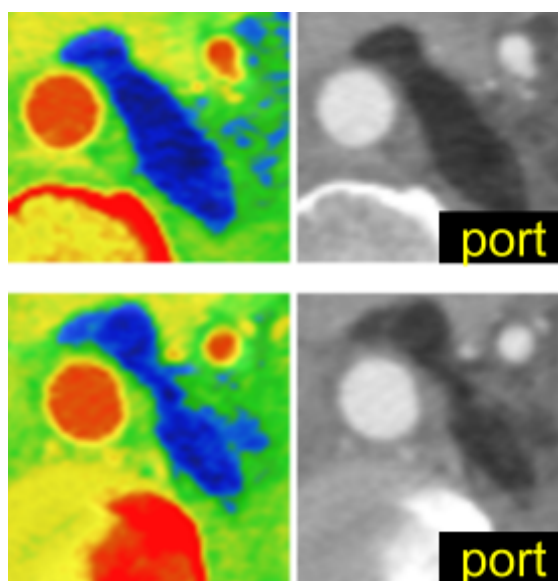


Рисунок 10

■ - от +1 HU до +70 HU;

■ - от -26 HU до -99 HU;

■ - от +183 HU.

На рисунке 11 представлена трехмерная реконструкция брюшной полости с целью визуализации локализации найденных гиподенсных образований.

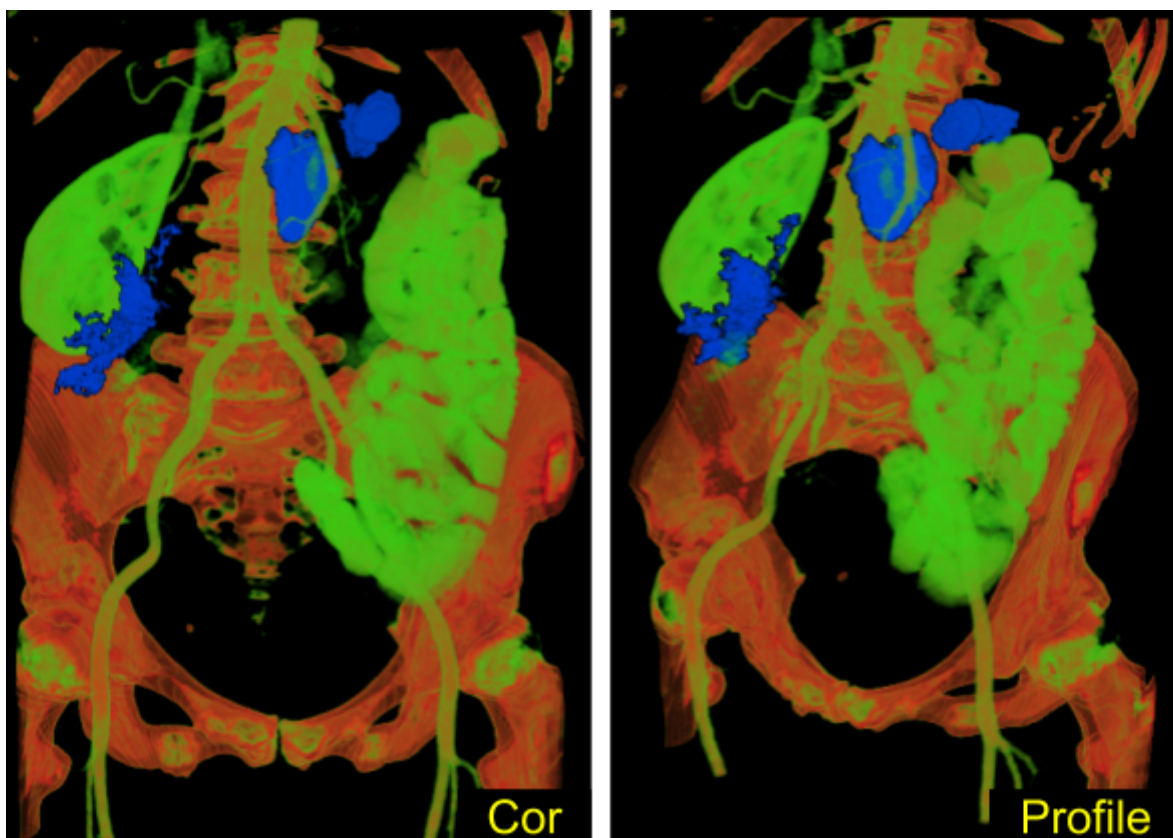


Рисунок 11

■ - найденные образования;

## 2. Область исследования - Органы малого таза

Предоставленные снимки области исследования представлены на рисунке 12.



Рисунок 12

### 2.1 Зона внимания - Почки

На рисунке 13 показано найденное образование (желтый круг) - в районе коры правой почки. Образование гиподенсное относительно почечной коры в портальную фазу контрастирования.

**Размер** образования 2 мм \* 1,7 мм\* 6.0 мм (по снимкам в портальную фазу).

**Плотность** образования:

- натив: не визуализируется;
- артериальная фаза: не визуализируется;
- портальная фаза: +141±7 HU (макс +142 HU, мин +139 HU);

Образование прослеживается на более ранних снимках КТ от 10.04.2018 и КТ от 28.12.2017 без изменения размера.

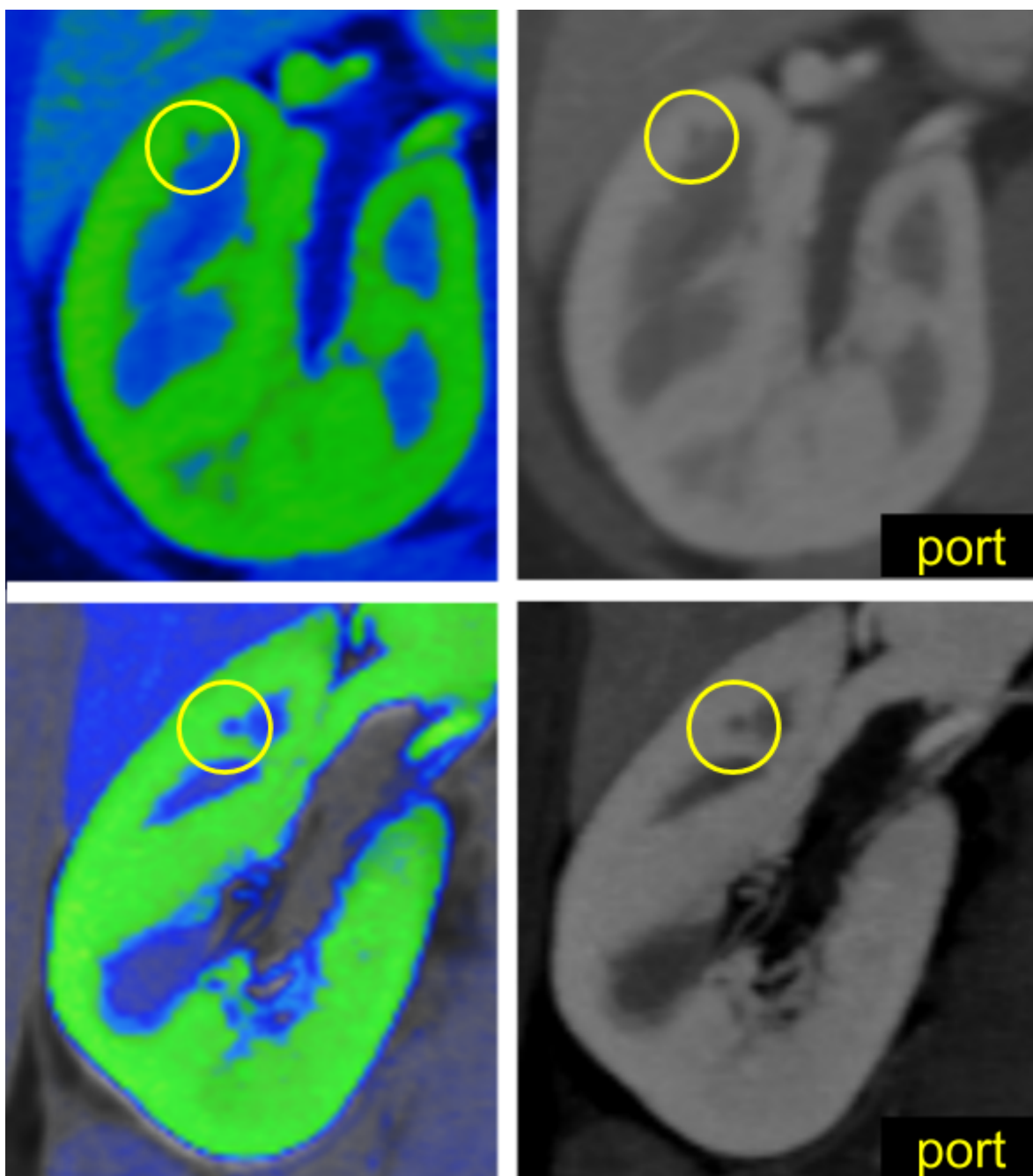


Рисунок 13



## 2.2 Зона внимания - Надпочечники

На рисунке 14 показан надпочечник **размером** 22 мм \* 15 мм. На снимках в портальную фазу контрастирования обнаружена гиподенсная область по отношению к периферии надпочечника.

### Плотность:

- натив:  $+21 \pm 8$  HU (макс +39 HU, мин +7 HU);
- артериальная фаза:  $+42 \pm 13$  HU (макс +63 HU, мин +11 HU);
- портальная фаза:  $+89 \pm 7$  HU (макс +105 HU, мин +75 HU);

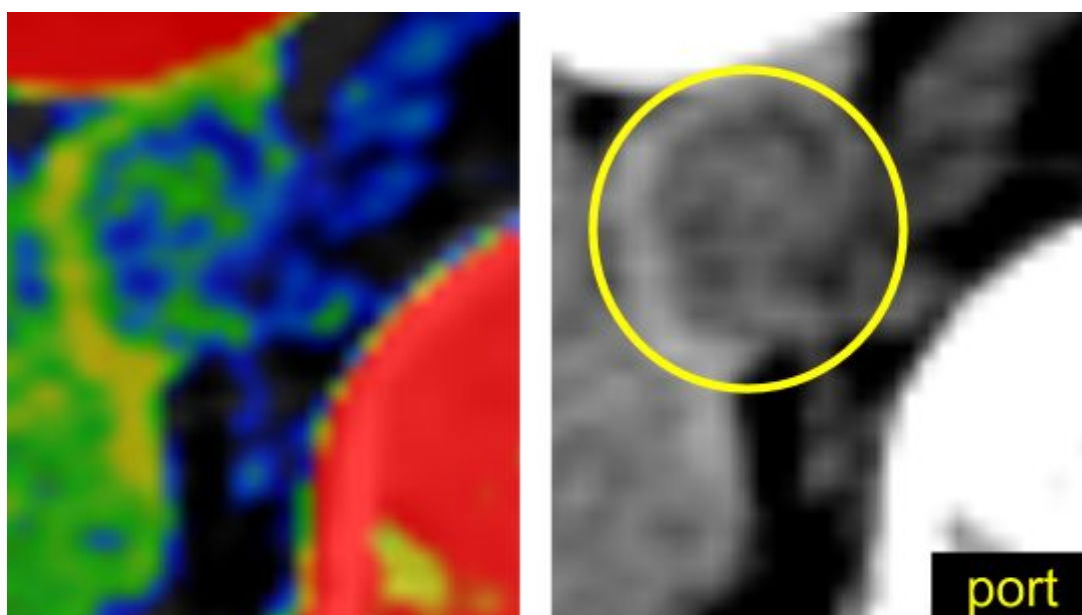


Рисунок 14

На рисунке 15 показана трехмерная реконструкция зоны внимания.

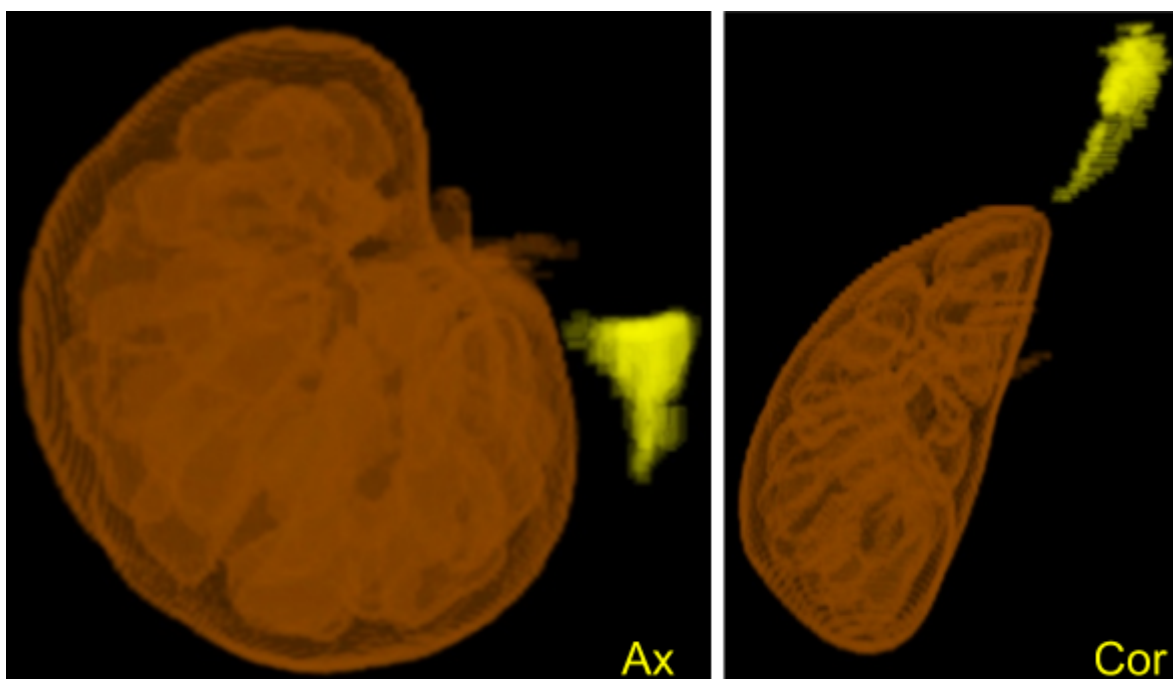


Рисунок 15

- надпочечник;
- почка.



### 2.3 Зона внимания - Яичники

На рисунке 16 показано найденное образование (желтый круг) - в районе правого яичника. Образования имеют гиподенсный сигнал относительно плотности прилегающих тканей.

**Размер** образования 9,6 мм \* 8,7 мм\* 9.5 мм (по снимкам в портальную фазу).

**Плотность** образования:

- натив: зона внимания не входит в область КТ - исследования;
- артериальная фаза: зона внимания не входит в область КТ - исследования;
- портальная фаза:  $+9 \pm 7$  HU (макс +16 HU, мин -4 HU);

Образование прослеживается на более ранних снимках КТ от 10.04.2018 и КТ от 28.12.2017 без изменения размера.

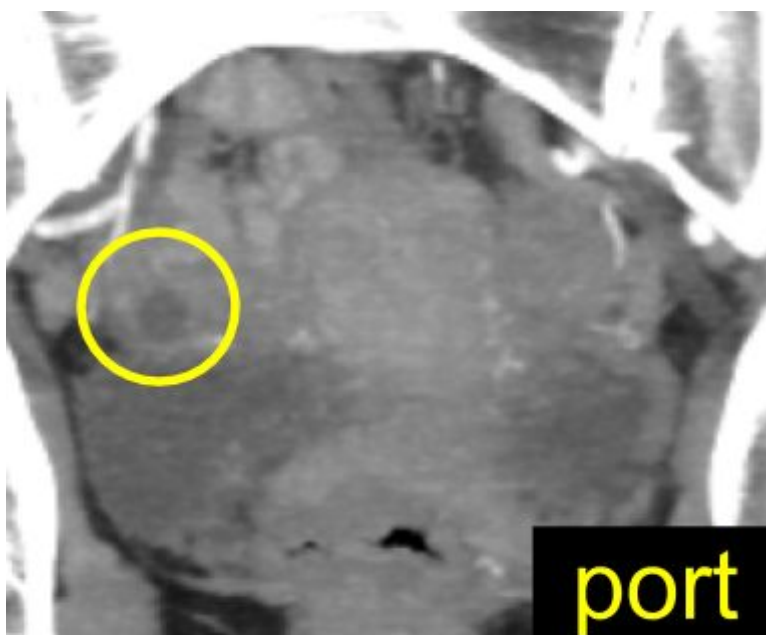


Рисунок 16

На рисунке 17 показано найденное образование (желтый круг) - в районе правого яичника. Образования имеют гиподенсный сигнал относительно плотности прилегающих тканей.

**Размер** образования 30 мм \* 33 мм\* 31 мм (по снимкам в портальную фазу).

**Плотность** образования:

- натив: зона внимания не входит в область КТ - исследования;
- артериальная фаза: зона внимания не входит в область КТ - исследования;
- портальная фаза:  $+38 \pm 7$  HU (макс +57 HU, мин +23 HU);

Образование прослеживается на более ранних снимках КТ от 10.04.2018 и КТ от 28.12.2017 без изменения размера.

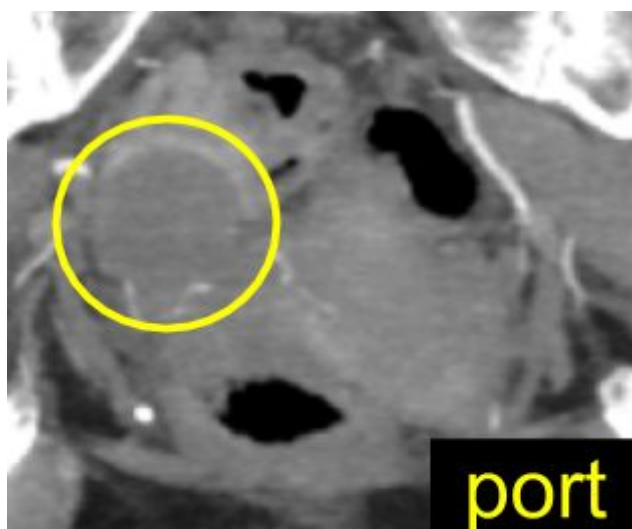


Рисунок 17

На рисунке 18 представлен результат цветокартирования зоны внимания.

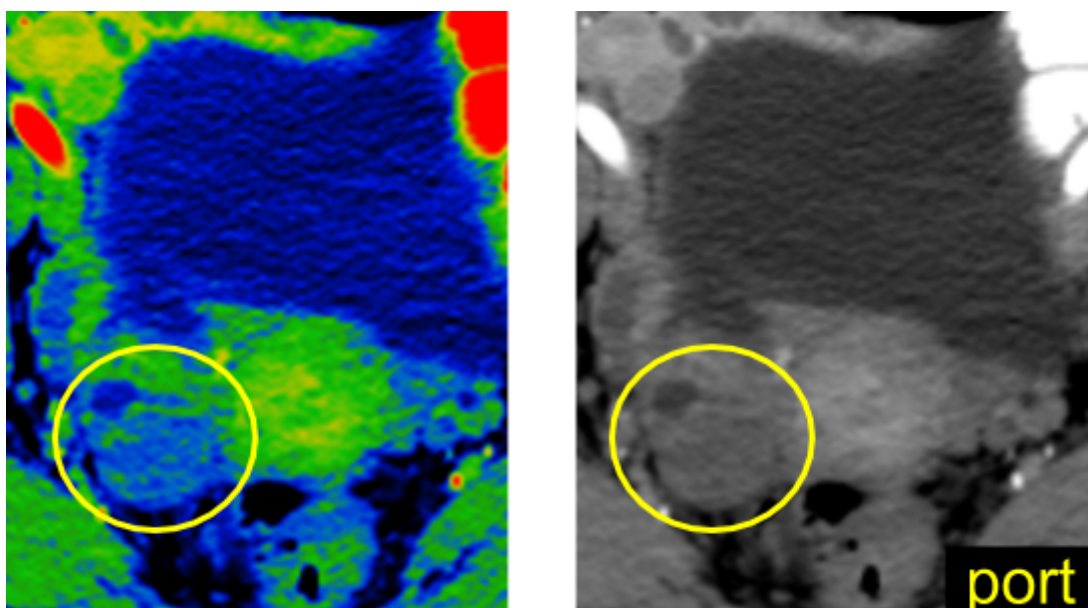


Рисунок 18

■ - плотность мягких тканей в портальную фазу контрастирования от + 40 HU до +90 HU;

■ - от - 4 HU до + 38 HU;

## 2.4 Зона внимания - Кости таза

На рисунке 19 показаны найденные множественные гиперденсные образования - уплотнения костной ткани в районе левой и правой бедренных костей.

**Плотность** образований до +800 HU.

Образования прослеживаются в ранних снимках от 10.04.2018 без изменений.

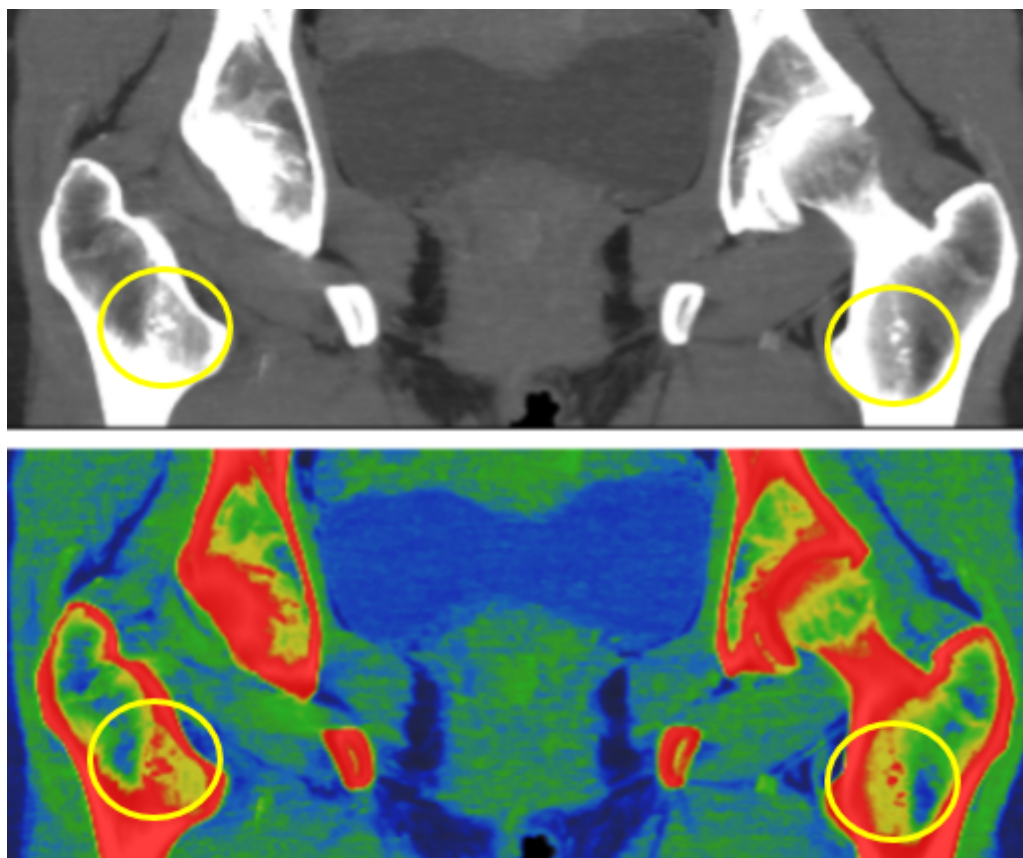


Рисунок 19

- от +30 HU до +350 HU;
- от 0 HU до +29 HU;
- от +351 HU до +850 HU;

На рисунке 20 показано найденное гиподенсное образование - уменьшение плотности костной ткани в районе левой подвздошной кости.

**Плотность** образования от 0 до +30 HU.

Образование прослеживается ранее на снимках от 10.04.2018 без изменений.

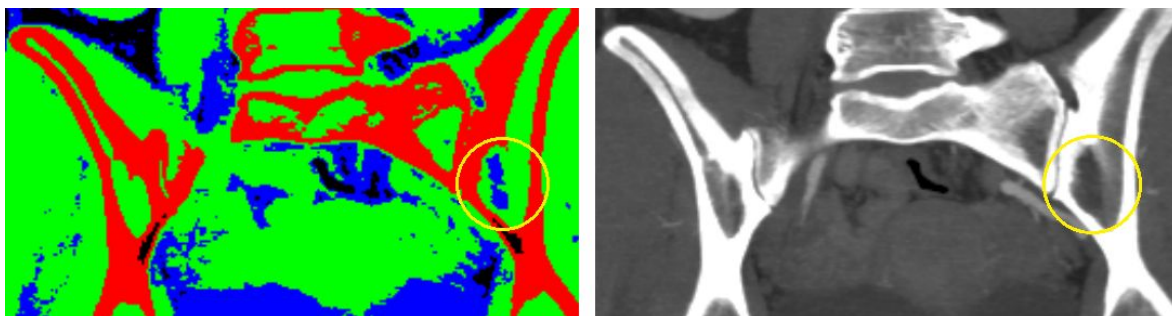


Рисунок 20

### 3. Область исследования - Позвоночник

Предоставленные снимки области исследования представлены на рисунке 21.

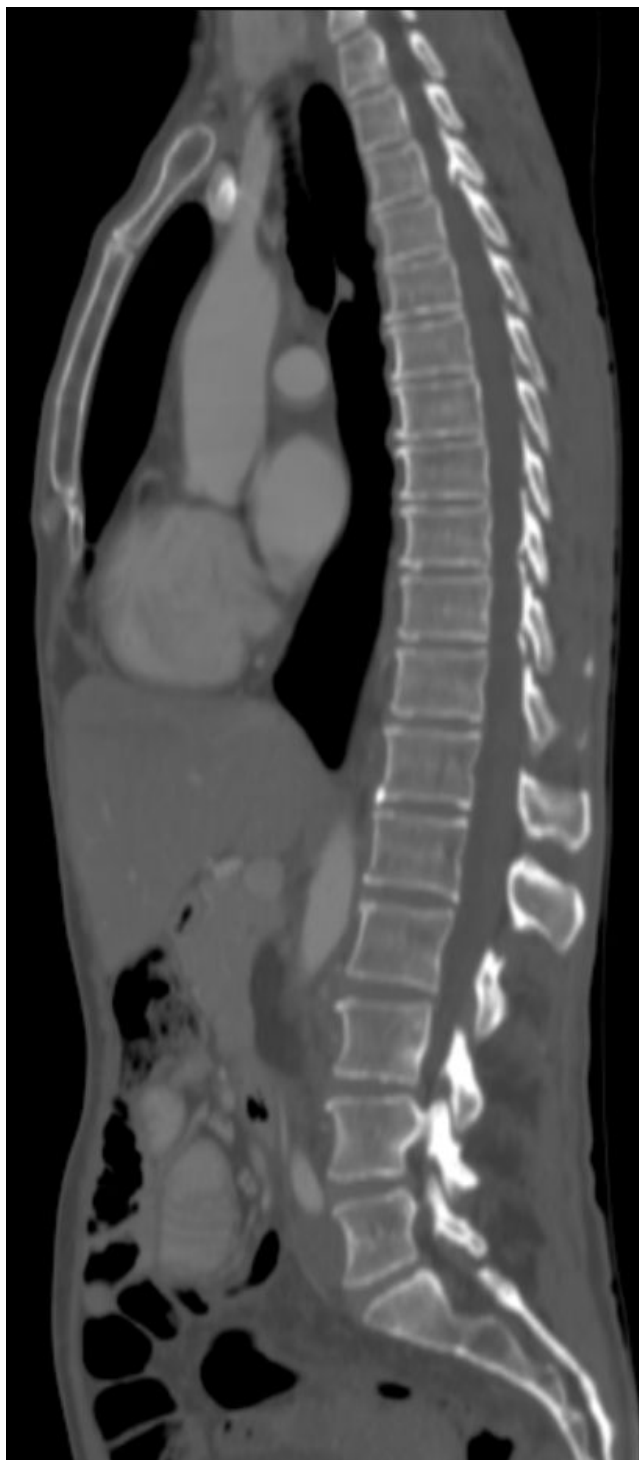


Рисунок 21

### 3.1 Зона внимания - Грудной отдел позвоночника

На рисунке 22 показаны найденные гиперденсные образования в теле позвонков грудного отдела Th5, Th7, Th8,

**Размеры** образований в аксиальной плоскости 2,31 мм.\* 2,43 мм., 3,5 мм. \* 2,61 мм., 4,49\* 3,96 мм. соответственно.

**Плотность** образований до +650 HU.

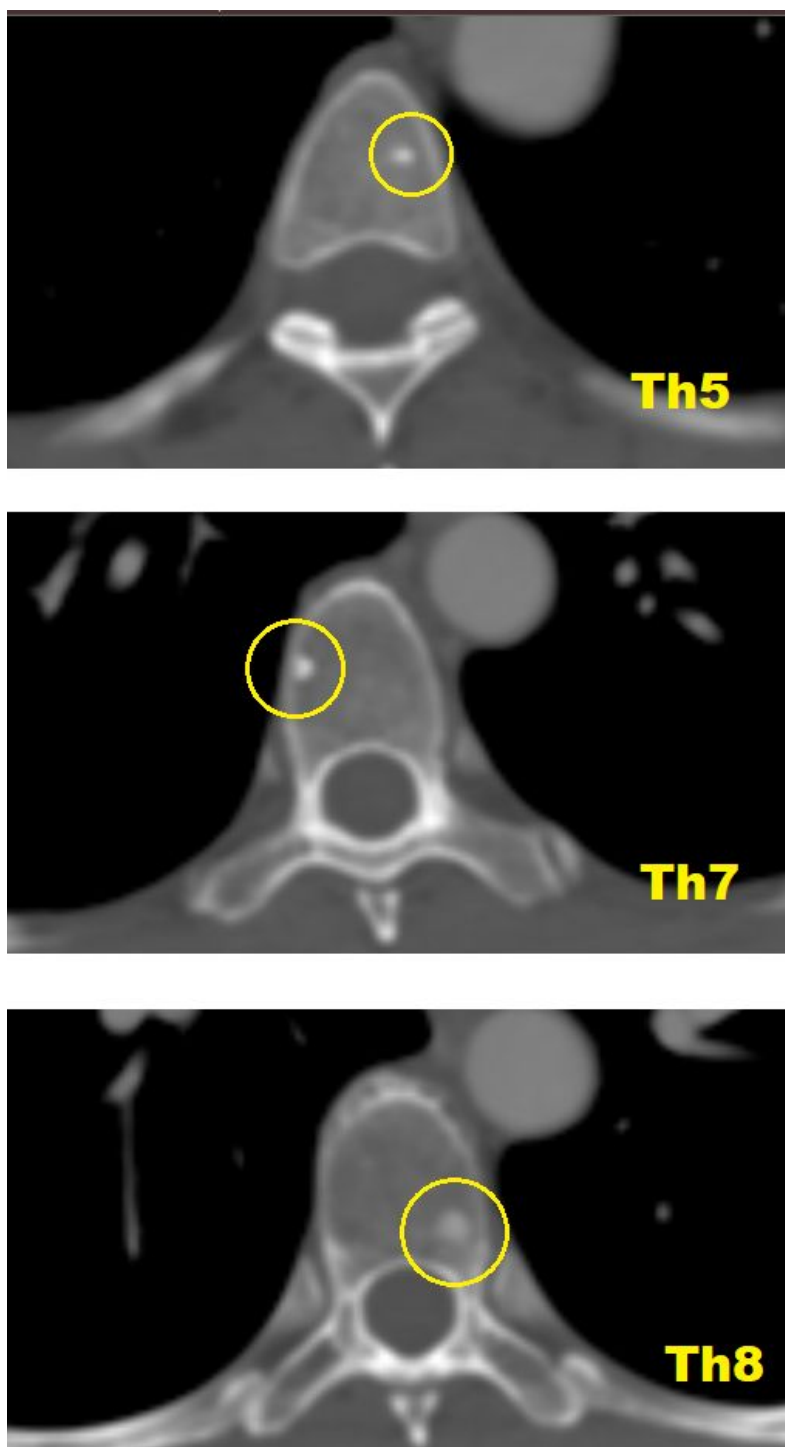


Рисунок 22

На рисунке 23 представлена трехмерная реконструкция грудного отдела позвоночника с целью визуализации локализации найденных гиперденсных образований.



Рисунок 23

■ - от +150 HU до +350 HU;

■ - от +351 HU до +650 HU;

На рисунке 24 показана трехмерная реконструкция грудного отдела позвоночника, где **зеленым** цветом показана норма костной ткани, а **красным** - повышенная плотность. Остеофиты Th3-Th12.



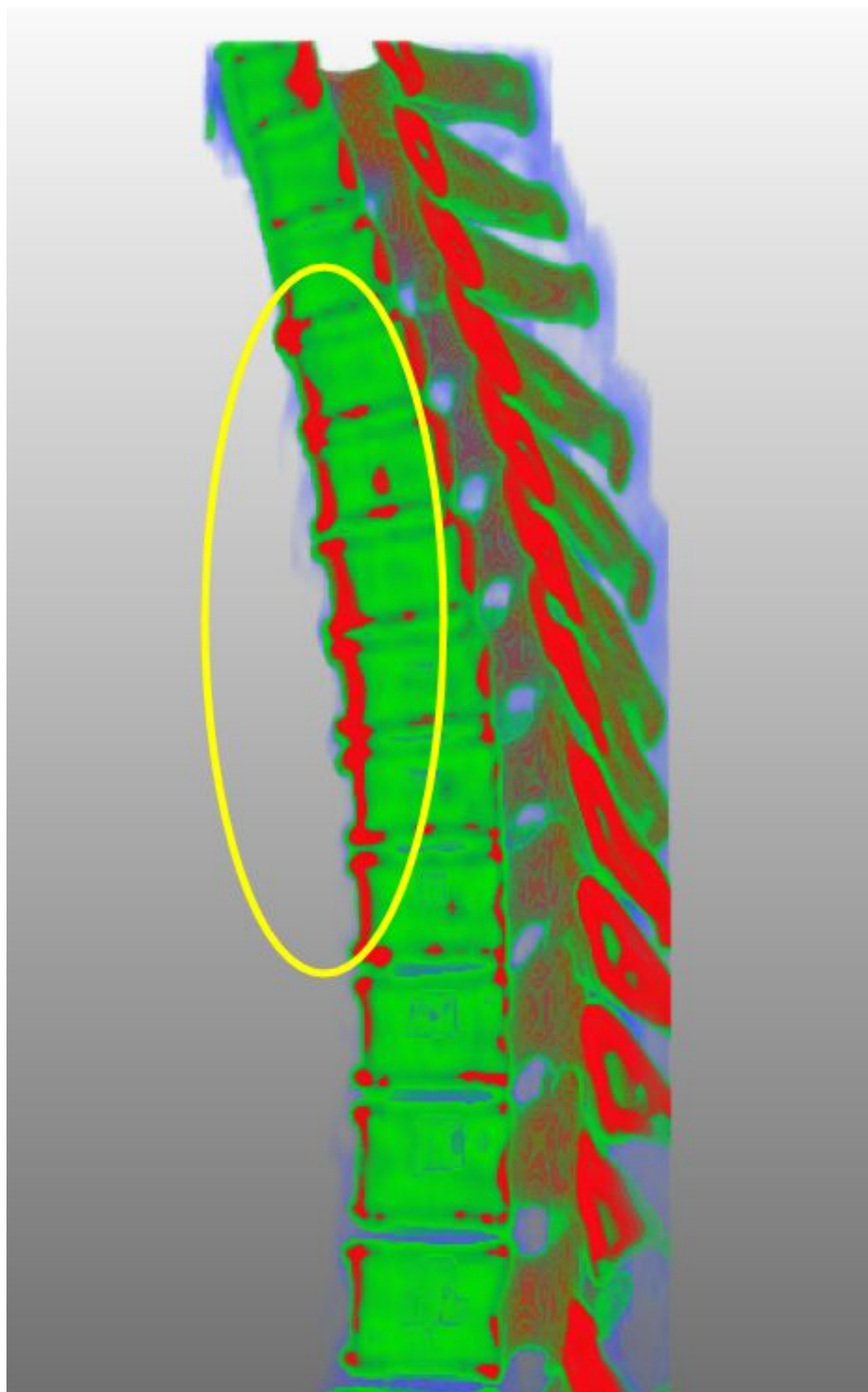


Рисунок 24

### 3.2 Зона внимания - Поясничный отдел позвоночника

На рисунке 25 показано найденное образование (желтый круг) - выпячивание межпозвоночного диска на 3,1 мм в районе L5/S1 с незначительным сдавливанием спинномозгового канала, где **зеленым** цветом показана спинномозговая жидкость, **красным** цветом - сдавливание.

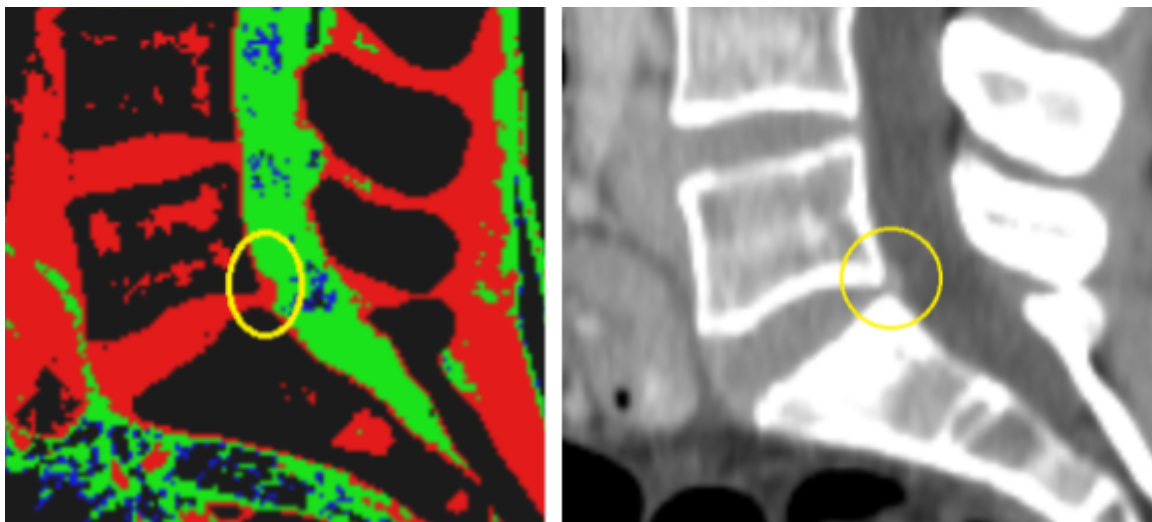





Рисунок 25

-  - от +10 HU до + 60 HU;
-  - от 0 HU до + 9 HU;
-  - от +61 HU до + 140 HU;

На рисунке 27 показана трехмерная реконструкция поясничного отдела позвоночника, где **зеленым** цветом показана норма костной ткани, а **красным** - повышенная плотность. Остеофиты L1-L4.

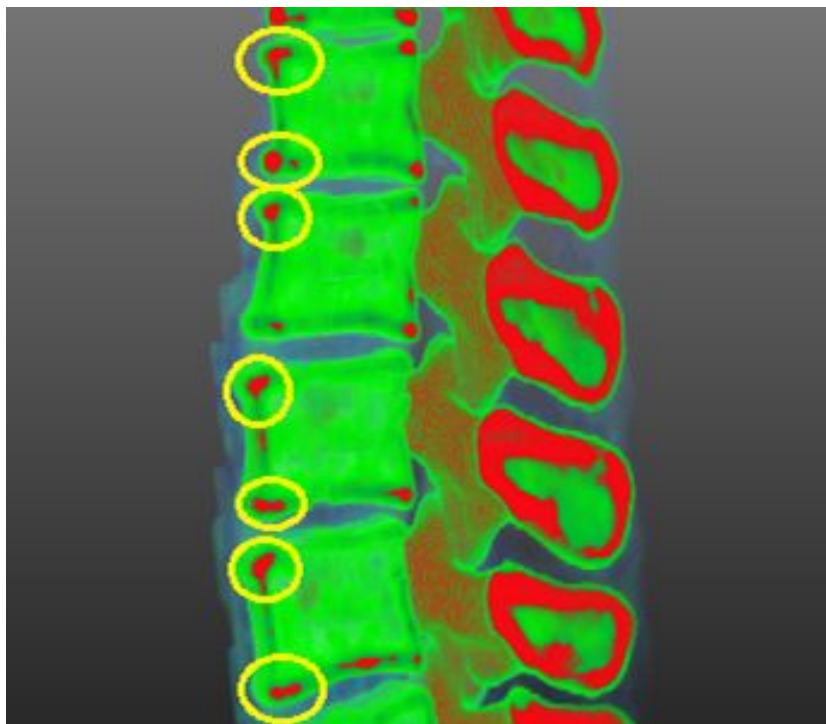


Рисунок 27

На рисунке 28 показано найденное образование (желтый круг) в области поясничного отдела позвоночника- узел Шморля в районе L2-L3.

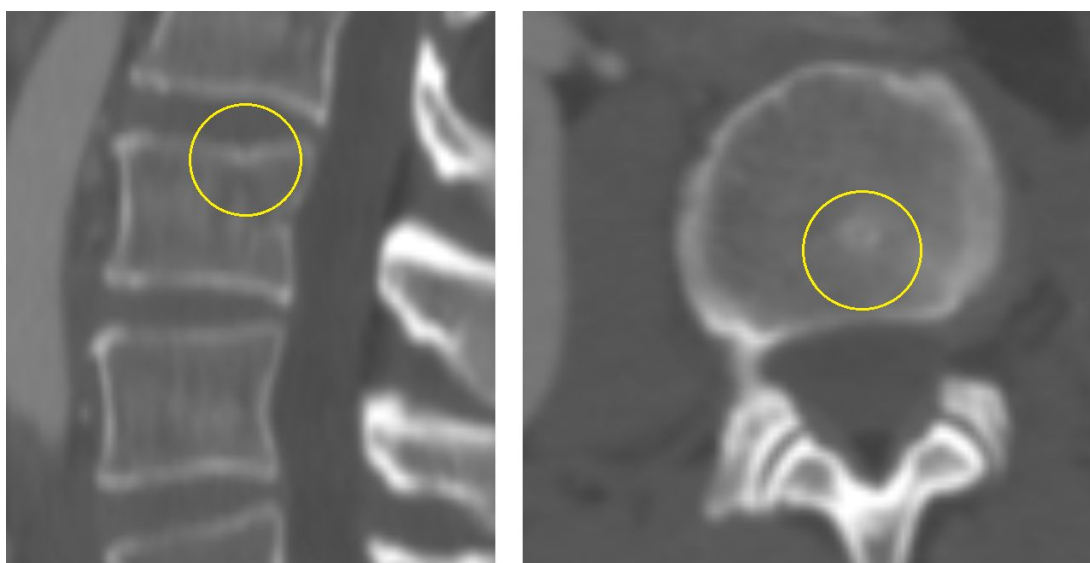


Рисунок 28

#### 4. Область исследования - Легкие

В ходе работы программного комплекса анализатора патологий ткани человека "поиск диссеминированных поражений легких" образований выявлено не было. Результаты работы программы представлены на рисунке 29.



Рисунок 29



На рисунках 30-32 показано найденное образование - скопление воздуха в легком. Зеленым цветом показана паренхима легких, синим цветом показаны области скопления воздуха.

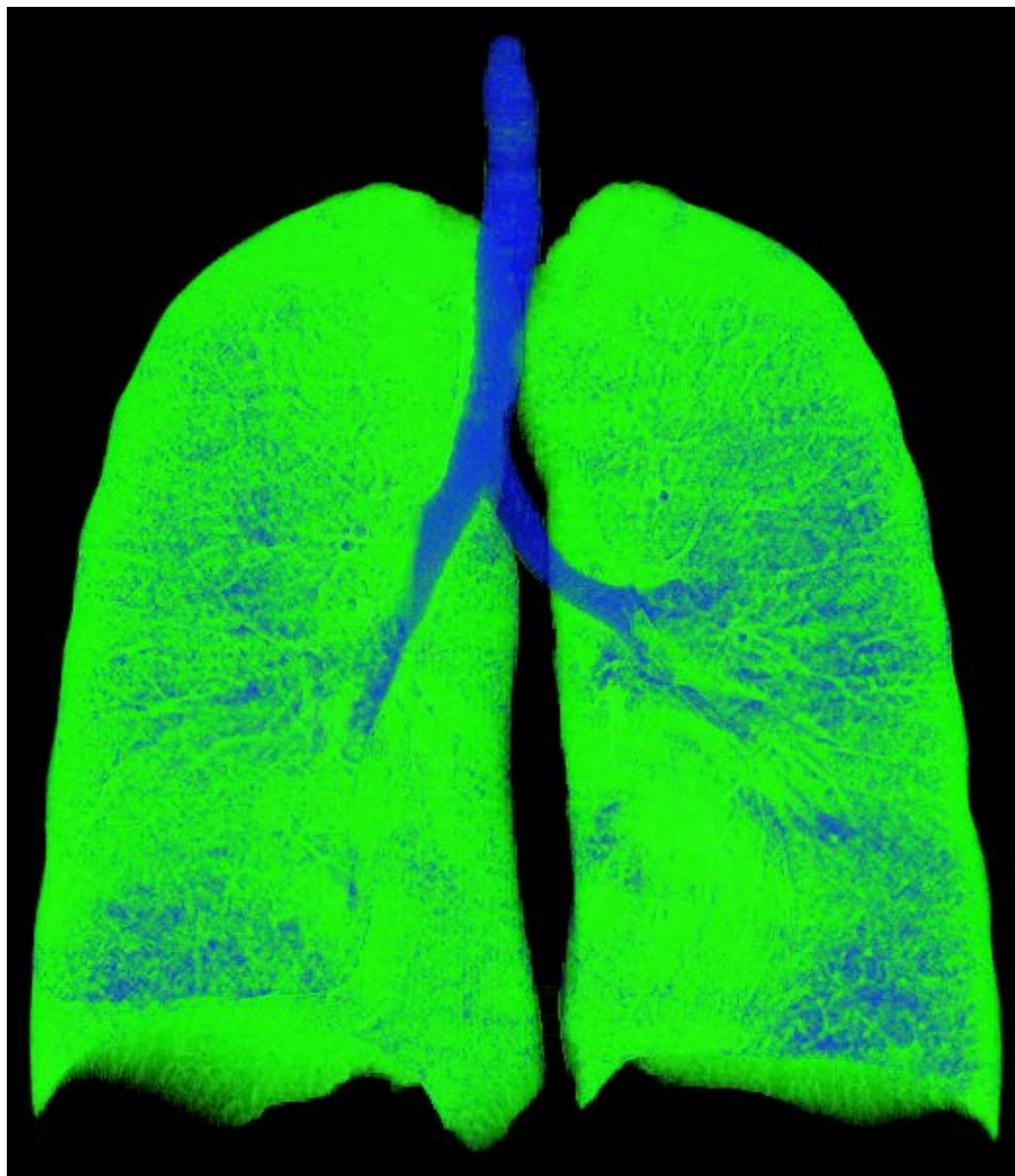


Рисунок 30

 - от -900 HU до -600 HU;

 - от -1024 HU до -901 HU.

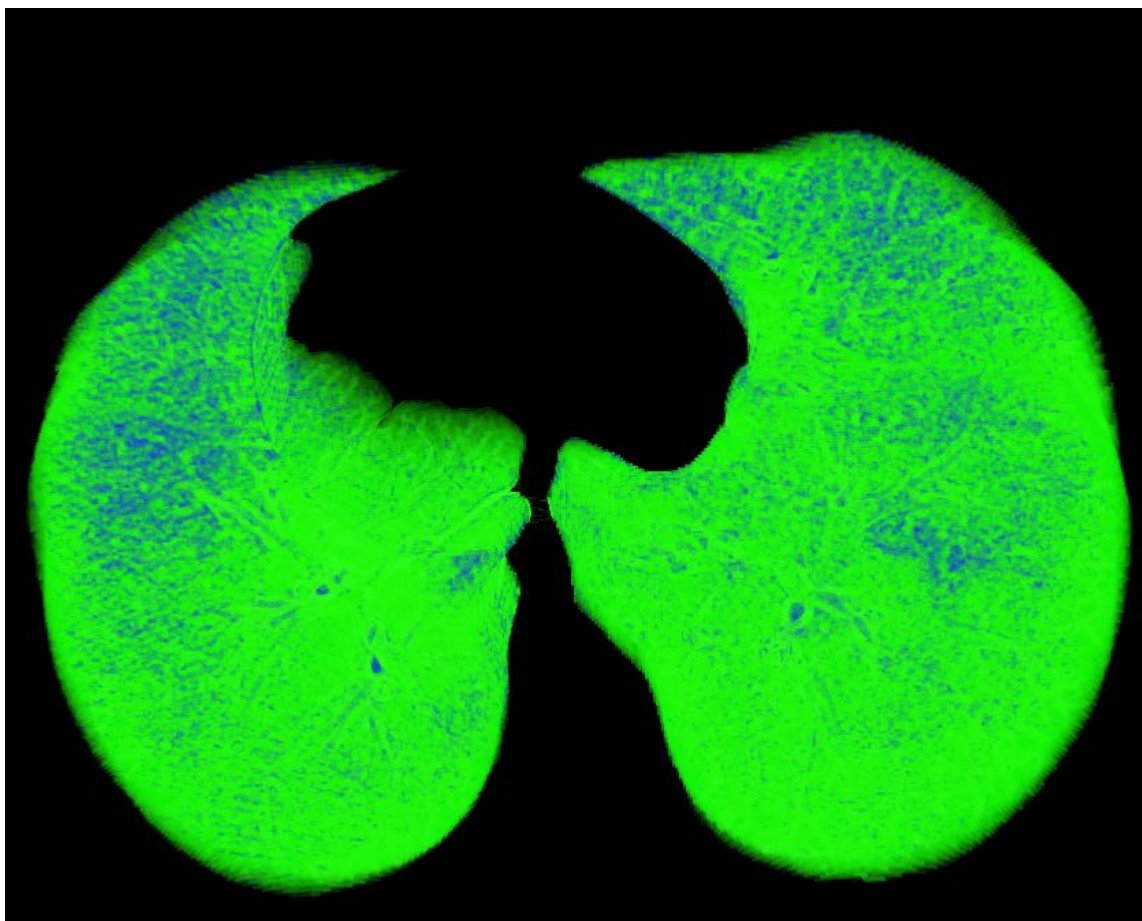


Рисунок 31

- от -900 HU до -600 HU;
- от -1024 HU до -901 HU.

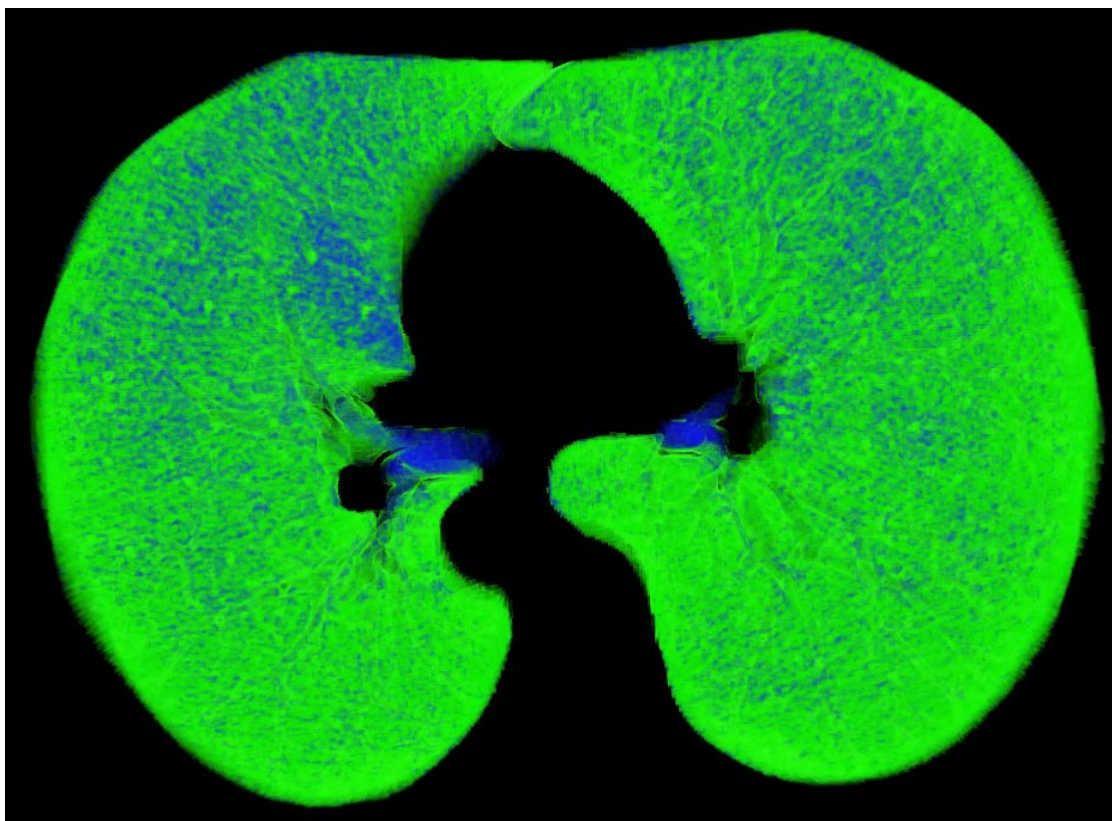




Рисунок 32

-  - от -900 HU до -600 HU;
-  - от -1024 HU до -901 HU.

На рисунке 33 показано найденное образование (желтый круг) в полости перикарда.

**Размер** образования - толщина 6,5 мм.

**Плотность** образования  $-105 \pm 22$  HU (макс -59 HU, мин -146 HU);

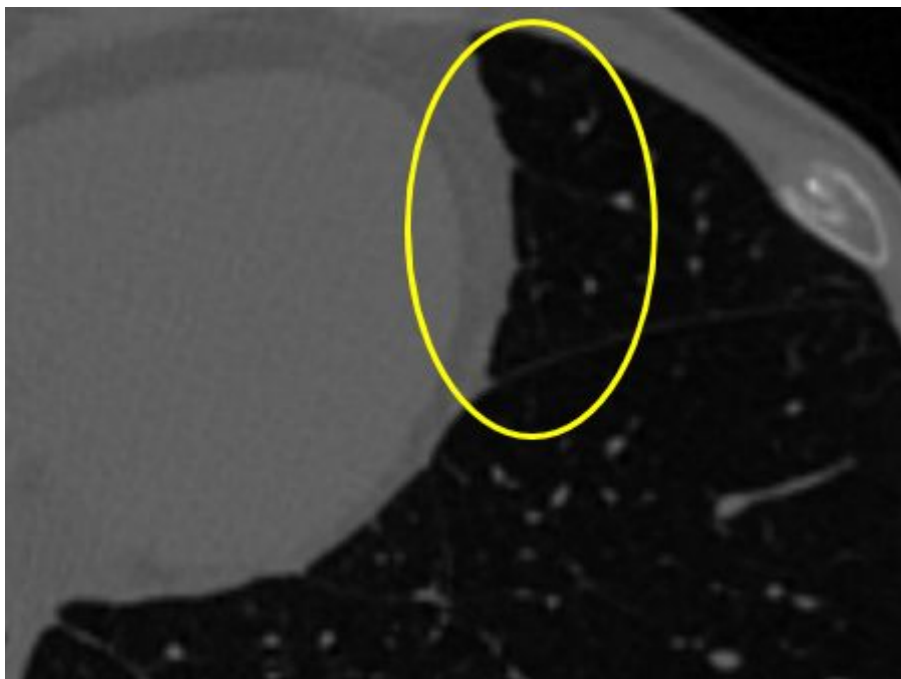


Рисунок 33

На рисунке 34 представлены найденные образования (желтый круг) в районе верхних долей обоих легких, **плотностью**  $-49 \pm 64$  HU (макс +42 HU, мин -135 HU).

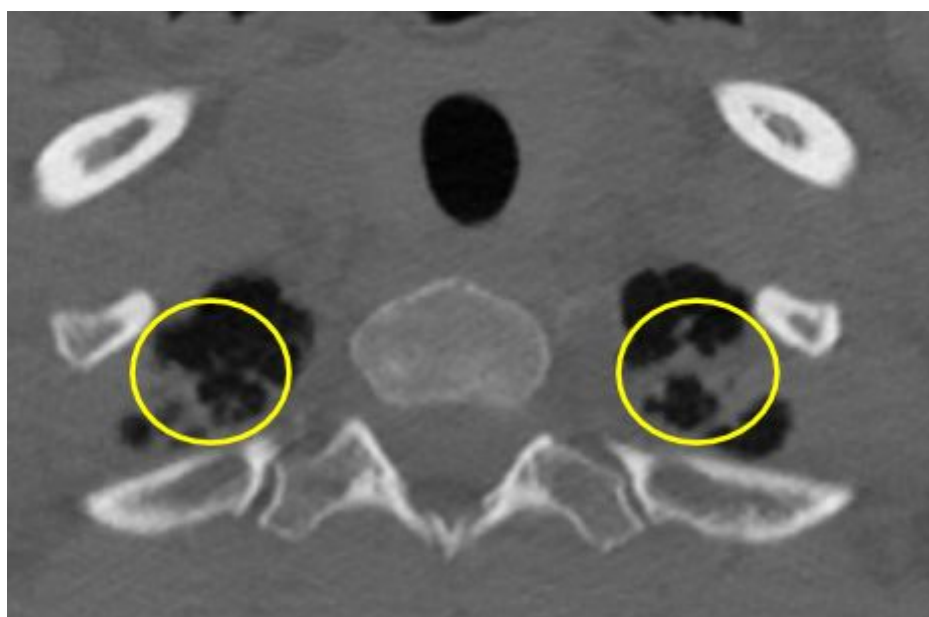


Рисунок 34



## ВЫВОДЫ

### 1. Область исследования - Брюшная полость

- **Зона внимания - Печень.** Образование в районе 5 сегмента печени размером 3.5 мм \* 6.0 мм, плотностью  $+33 \pm 3$  HU без накопления контраста. Образование в районе 5 сегмента печени размером 3.0 мм \* 2.5 мм протяженностью 7 мм, плотностью  $+162 \pm 6$  HU в портальную фазу контрастирования (не визуализируется в нативную и артериальную фазу).
- **Зона внимания - Нижняя полая вена.** Диаметр нижней полой вены 26 мм. Наблюдается неравномерное распределение контраста.
- **Зона внимания - Забрюшинное пространство.**  
Гиподенсные образования в районе забрюшинного пространства слева в передней и задней области размером 27 мм \* 50 мм \* 25 мм и 46 мм \* 20 мм \* 32 мм соответственно. Накапливают контраст по периферии в портальную фазу контрастирования. Плотность образований в центре по нативным снимкам  $+23 \pm 9$  HU.  
Гиподенсное образование в районе забрюшинного пространства справа (вблизи с почкой) размером 26 мм \* 18 мм протяженностью 69 мм. Накапливает контраст по периферии в портальную фазу контрастирования. Плотность в центре по нативным снимкам  $+32 \pm 7$  HU.  
Гиподенсное образование в парааортальной области забрюшинного пространства размером 15 мм \* 47 мм \* 54 мм. Образование не накапливает контраст. Плотность образования  $-75 \pm 9$  HU.

### 2. Область исследования - Органы малого таза

- **Зона внимания - Почки.** Образование в районе коры правой почки размером 2 мм \* 1,7 мм \* 6.0 мм. Образование визуализируется на снимках в портальную фазу, плотностью  $+141 \pm 7$  HU.
- **Зона внимания - Надпочечники.** Надпочечник размером 22 мм \* 15 мм, в портальную фазу контрастирования визуализируется гиподенсная область по отношению к периферии надпочечника. Плотность: натив:  $+21 \pm 8$  HU; артериальная фаза:  $+42 \pm 13$  HU; портальная фаза:  $+89 \pm 7$  HU.
- **Зона внимания - Яичники.**  
Образование в районе правого яичника размером 9,6 мм \* 8,7 мм \* 9.5 мм. Плотность в портальную фазу контрастирования  $+9 \pm 7$  HU. В других фазах контрастирования указанная область отсутствует.  
Образование в районе правого яичника размером 30 мм \* 33 мм \* 31 мм. Плотность в портальную фазу контрастирования  $+38 \pm 7$  HU. В других фазах контрастирования указанная область отсутствует.

- **Зона внимания - Кости таза.**

Множественные гиперденсные образования - уплотнения костной ткани в районе левой и правой бедренных костей, плотностью до +800 HU.

Область пониженной плотности (от 0 HU до +30 HU) в районе левой подвздошной кости.

**3. Область исследования - Позвоночник.**

- **Зона внимания - Грудной отдел позвоночника.** Костные уплотнения в телах позвонков Th5, Th7, Th8, плотностью до +650 HU. Остеофиты Th3-Th12

- **Зона внимания - Поясничный отдел позвоночника.** Выпячивание межпозвоночного диска на 3,1 мм в районе L5/S1. Остеофиты L1-L4 позвонков. Узел шморля L2/L3.

**4. Область исследования - Легкие.**

Обнаружены множественные скопления воздуха в паренхиме легкого.

Найдены образования в полости перикарда толщиной 6,5 мм и плотностью -105 ± 22 HU.

В районе верхних долей обоих легких плотностью -49±64 HU.